

CONNECTEUR TOUT FILET À TÊTE CYLINDRIQUE

REVÊTEMENT C4 EVO

Revêtement multicouches avec traitement de surface à base de résine époxyde et de paillettes d'aluminium. Absence de rouille après un test de 1440 heures d'exposition dans un brouillard salin conformément à la norme ISO 9227. Utilisation possible à l'extérieur en classe de service 3 et en classe de corrosivité atmosphérique C4.

BOIS TRAITÉ EN AUTOCLAVE

Le revêtement C4 EVO a été certifié selon le critère d'acceptation américain AC257 pour une utilisation en extérieur avec du bois traité de type ACQ.

APPLICATIONS STRUCTURELLES

Filetage profond et acier avec limite d'élasticité caractéristique élevée ($f_{y,k} = 1000 \text{ N/mm}^2$) pour hautes performances à la traction. Homologation pour les applications structurelles sollicitées dans toutes les directions par rapport à la fibre (0° - 90°). Distances minimales réduites.

TÊTE CYLINDRIQUE

Elle permet à la vis de pénétrer et de traverser la surface du support en bois. Convient pour des systèmes d'assemblage escamotables, des couplages en bois et des renforts structurels. Il s'agit du choix idéal pour augmenter les performances au feu.

		
DIAMÈTRE [mm]	5 (5)	11 (11)
LONGUEUR [mm]	80 (80)	600 (600) 1000
CLASSE DE SERVICE	SC1 SC2 SC3	
CORROSIVITÉ ATMOSPHERIQUE	C1 C2 C3 C4	
CORROSIVITÉ DU BOIS	T1 T2 T3	
MATÉRIAUX	C4 EVO COATING	acier au carbone avec revêtement C4 EVO



DOMAINES D'UTILISATION

- panneaux à base de bois
- bois massif et lamellé-collé
- CLT et LVL
- bois à haute densité
- bois traités ACQ, CCA

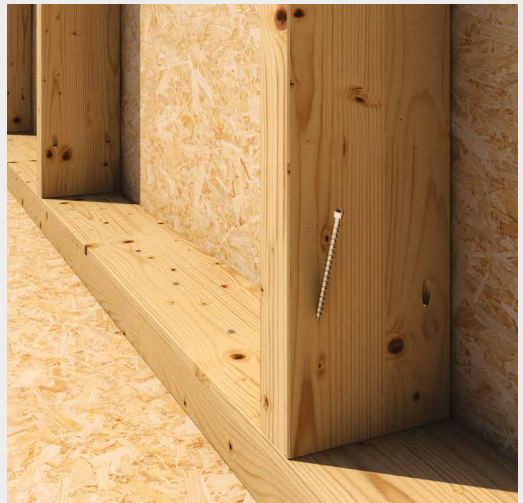


TRUSS & RAFTER JOINTS

Idéale pour les assemblages d'éléments en bois de petites sections, comme les traverses et les montants des structures à ossature légère. Certifiée pour les applications parallèles à la fibre et avec des distances minimales réduites.

TIMBER STUDS

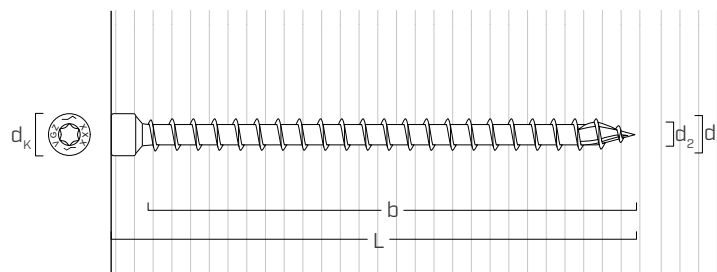
Valeurs testées, certifiées et calculées également pour CLT et bois à haute densité comme le micro-lamellé LVL. Convient pour la fixation de poutres en I-Joist.



Fixation de supports en bois en extérieur.

Fixation des montants de structures légères avec VGZ.

GÉOMÉTRIE ET CARACTÉRISTIQUES MÉCANIQUES



GÉOMÉTRIE

Diamètre nominal	d_1	[mm]	5,3	5,6	7	9	11
Diamètre tête	d_K	[mm]	8,00	8,00	9,50	11,50	13,50
Diamètre noyau	d_2	[mm]	3,60	3,80	4,60	5,90	6,60
Diamètre pré-perçage ⁽¹⁾	$d_{V,S}$	[mm]	3,5	3,5	4,0	5,0	6,0
Diamètre pré-perçage ⁽²⁾	$d_{V,H}$	[mm]	4,0	4,0	5,0	6,0	7,0

(1) Pré-perçage valable pour bois de conifère (softwood).

(2) Pré-perçage valable pour bois durs (hardwood) et pour LVL en bois de hêtre.

PARAMÈTRES MÉCANIQUES CARACTÉRISTIQUES

Diamètre nominal	d_1	[mm]	5,3	5,6	7	9	11
Résistance à la traction	$f_{tens,k}$	[kN]	11,0	12,3	15,4	25,4	38,0
Limite d'élasticité	$f_{y,k}$	[N/mm ²]	1000	1000	1000	1000	1000
Moment d'élasticité	$M_{y,k}$	[Nm]	9,2	10,6	14,2	27,2	45,9

			bois de conifère (softwood)	LVL de conifère (LVL softwood)	LVL de hêtre pré-percé (beech LVL predrilled)
Résistance à l'arrachement	$f_{ax,k}$	[N/mm ²]	11,7	15,0	29,0
Densité associée	ρ_a	[kg/m ³]	350	500	730
Densité de calcul	ρ_k	[kg/m ³]	≤ 440	$410 \div 550$	$590 \div 750$

Pour des applications avec des matériaux différents, veuillez-vous reporter au document ATE-11/0030.

CODES ET DIMENSIONS

d ₁ [mm]	CODE	L [mm]	b [mm]	pcs.
5,3 TX 25	VGZ EVO 580	80	70	50
	VGZ EVO 5100	100	90	50
	VGZ EVO 5120	120	110	50
5,6 TX 25	VGZ EVO 5140	140	130	50
	VGZ EVO 5150	150	140	50
	VGZ EVO 5160	160	150	50
7 TX 30	VGZ EVO 780	80	70	25
	VGZ EVO 7100	100	90	25
	VGZ EVO 7120	120	110	25
	VGZ EVO 7140	140	130	25
	VGZ EVO 7160	160	150	25
	VGZ EVO 7180	180	170	25
	VGZ EVO 7200	200	190	25
	VGZ EVO 7220	220	210	25
	VGZ EVO 7240	240	230	25
	VGZ EVO 7260	260	250	25
	VGZ EVO 7280	280	270	25
	VGZ EVO 7300	300	290	25
	VGZ EVO 7340	340	330	25
	VGZ EVO 7380	380	370	25
	VGZ EVO 9160	160	150	25
9 TX 40	VGZ EVO 9180	180	170	25
	VGZ EVO 9200	200	190	25
	VGZ EVO 9220	220	210	25
	VGZ EVO 9240	240	230	25
	VGZ EVO 9260	260	250	25
	VGZ EVO 9280	280	270	25
	VGZ EVO 9300	300	290	25
	VGZ EVO 9320	320	310	25
	VGZ EVO 9340	340	330	25
	VGZ EVO 9360	360	350	25
	VGZ EVO 9380	380	370	25
	VGZ EVO 9400	400	390	25
	VGZ EVO 9440	440	430	25
	VGZ EVO 9480	480	470	25
	VGZ EVO 9520	520	510	25

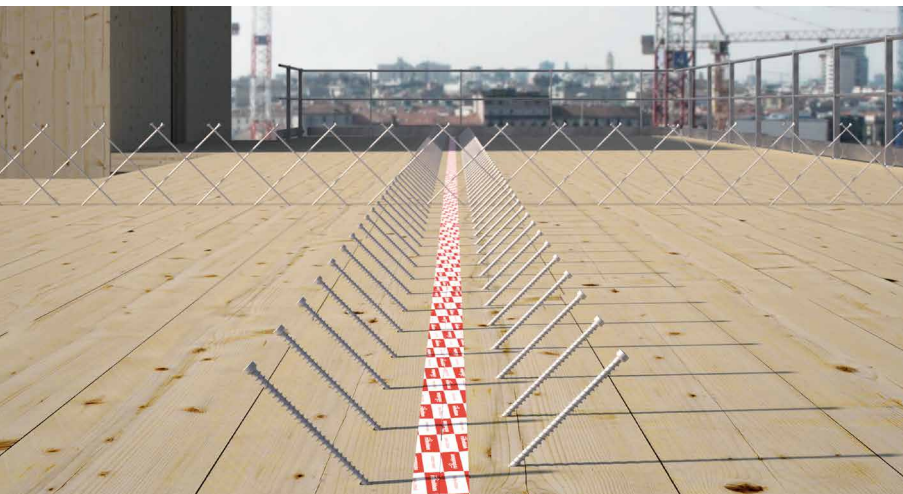
d ₁ [mm]	CODE	L [mm]	b [mm]	pcs.
	VGZ EVO 11250	250	240	25
	VGZ EVO 11300	300	290	25
	VGZ EVO 11350	350	340	25
11	VGZ EVO 11400	400	390	25
TX 50	VGZ EVO 11450	450	440	25
	VGZ EVO 11500	500	490	25
	VGZ EVO 11550	550	540	25
	VGZ EVO 11600	600	590	25

PRODUITS CONNEXES



JIG VGZ 45°
GABARIT POUR VIS À 45°

page 409



PERFORMANCES STRUCTURELLES À L'EXTÉRIEUR

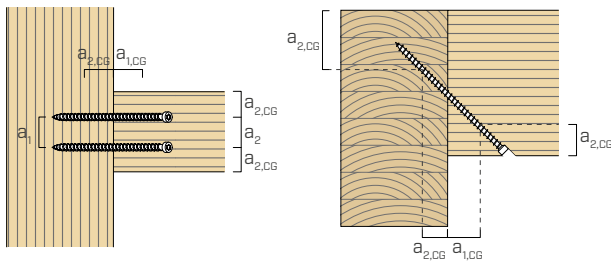
Valeurs testées, certifiées et calculées également pour CLT et bois à haute densité comme le micro-lamellé LVL. Idéal pour la fixation d'éléments en bois dans des milieux externes agressifs (C4).

DISTANCES MINIMALES POUR VIS SOLICITÉES AXIALEMENT

vis enfoncées AVEC et SANS pré-perçage

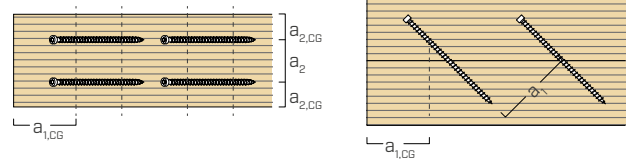
d₁ [mm]	5,3	5,6	7	9	11
a₁ [mm]	5·d	27	28	35	45
a₂ [mm]	5·d	27	28	35	45
a_{2,LIM} [mm]	2,5·d	13	14	18	23
a_{1,CG} [mm]	8·d	42	45	56	72
a_{2,CG} [mm]	3·d	16	17	21	27
a_{CROSS} [mm]	1,5·d	8	8	11	14

VIS EN TRACTION INSÉRÉES AVEC UN ANGLE α PAR RAPPORT À LA FIBRE



plan

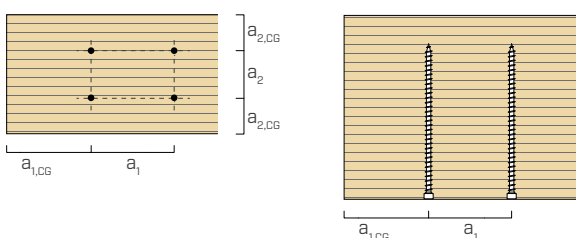
façade



plan

façade

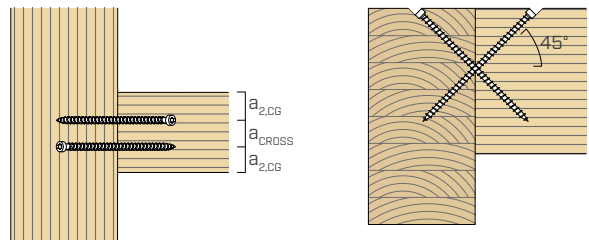
VIS INSÉRÉES AVEC UN ANGLE $\alpha = 90^\circ$ PAR RAPPORT À LA FIBRE



plan

façade

VIS CROISÉES INSÉRÉES AVEC UN ANGLE α PAR RAPPORT À LA FIBRE



plan

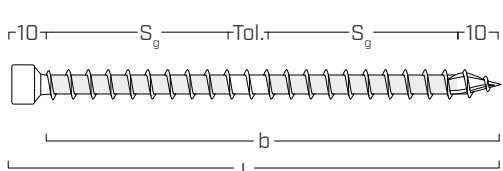
façade

NOTES

- Les distances minimales sont calculées en accord avec ATE-11/0030.
- Les distances minimales sont indépendantes de l'angle d'insertion du connecteur et de l'angle de la force par rapport à la fibre.
- La distance axiale a_2 peut être réduite jusqu'à $a_{2,LIM}$ si, pour chaque connecteur, une « surface d'assemblage » $a_1 a_2 = 25 d_1^2$ est maintenue.
- Pour des assemblages poutre secondaire-poutre principale avec des vis VGZ d = 7 mm inclinées ou croisées, insérées à un angle de 45° par rapport à la tête de la poutre secondaire, avec une hauteur minimale de la poutre secondaire égale à 18·d, la distance minimale $a_{1,CG}$ peut être prise à 8·d₁ et la distance minimale $a_{2,CG}$ égale à 3·d₁.

- Pour des vis avec une pointe 3 THORNS, les distances minimales indiquées dans le tableau sont issues d'essais expérimentaux ; en alternative, adopter $a_{1,CG} = 10 \cdot d$ et $a_{2,CG} = 4 \cdot d$ conformément à la norme EN 1995:2014.

FILETAGE EFFICACE POUR LE CALCUL



$$b = S_{g,tot} = L - 10 \text{ mm}$$

représente toute la longueur de la partie filetée

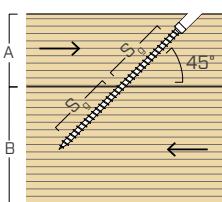
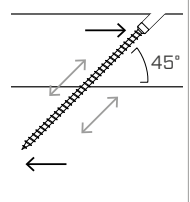
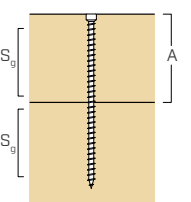
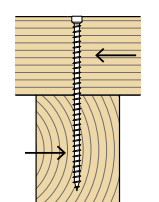
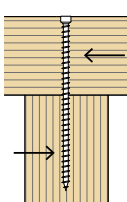
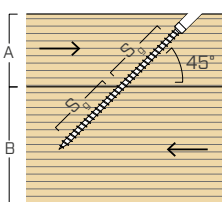
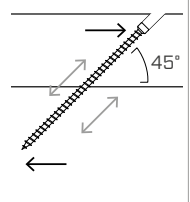
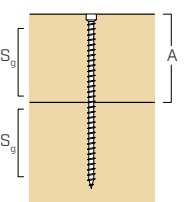
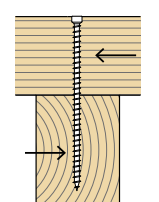
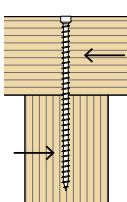
$$S_g = (L - 10 \text{ mm} - 10 \text{ mm} - \text{Tol.})/2$$

représente la demi-longueur de la partie filetée avec tolérance (Tol.) de pose de 10 mm

géométrie		TRACTION / COMPRESSION										
		extraction du filetage total				extraction du filetage partiel				traction acier	instabilité $\varepsilon=90^\circ$	
		$\varepsilon=90^\circ$		$\varepsilon=0^\circ$		$\varepsilon=90^\circ$		$\varepsilon=0^\circ$				
5,3	d_1	[mm]	$S_{g,tot}$ [mm]	A_{min} [mm]	$R_{ax,90,k}$ [kN]	$R_{ax,0,k}$ [kN]	S_g [mm]	A_{min} [mm]	$R_{ax,90,k}$ [kN]	$R_{ax,0,k}$ [kN]	$R_{tens,k}$ [kN]	$R_{ki,90,k}$ [kN]
	80	70	90	4,68	1,41	25	45	1,67	0,50			
	100	90	110	6,02	1,81	35	55	2,34	0,70	11,00	6,20	
5,6	120	110	130	7,36	2,21	45	65	3,01	0,90			
	140	130	150	9,19	2,76	55	75	3,89	1,17			
	150	150	170	10,61	2,97	65	85	4,60	1,27	12,30	6,93	
7	160	150	170	10,61	3,18	65	85	4,60	1,38			
	80	70	90	6,19	1,86	25	45	2,21	0,66			
	100	90	110	7,96	2,39	35	55	3,09	0,93			
	120	110	130	9,72	2,92	45	65	3,98	1,19			
	140	130	150	11,49	3,45	55	75	4,86	1,46			
	160	150	170	13,26	3,98	65	85	5,75	1,72			
	180	170	190	15,03	4,51	75	95	6,63	1,99			
	200	190	210	16,79	5,04	85	105	7,51	2,25	15,40	10,30	
	220	210	230	18,56	5,57	95	115	8,40	2,52			
	240	230	250	20,33	6,10	105	125	9,28	2,78			
	260	250	270	22,10	6,63	115	135	10,16	3,05			
	280	270	290	23,87	7,16	125	145	11,05	3,31			
	300	290	310	25,63	7,69	135	155	11,93	3,58			
	340	330	350	29,17	8,75	155	175	13,70	4,11			
9	380	370	390	32,70	9,81	175	195	15,47	4,64			
	160	150	170	17,05	5,11	65	85	7,39	2,22			
	180	170	190	19,32	5,80	75	95	8,52	2,56			
	200	190	210	21,59	6,48	85	105	9,66	2,90			
	220	210	230	23,87	7,16	95	115	10,80	3,24			
	240	230	250	26,14	7,84	105	125	11,93	3,58			
	260	250	270	28,41	8,52	115	135	13,07	3,92			
	280	270	290	30,68	9,21	125	145	14,21	4,26			
	300	290	310	32,96	9,89	135	155	15,34	4,60	25,40	17,25	
	320	310	330	35,23	10,57	145	165	16,48	4,94			
	340	330	350	37,50	11,25	155	175	17,61	5,28			
	360	350	370	39,78	11,93	165	185	18,75	5,63			
	380	370	390	42,05	12,61	175	195	19,89	5,97			
	400	390	410	44,32	13,30	185	205	21,02	6,31			
11	440	430	450	48,87	14,66	205	225	23,30	6,99			
	480	470	490	53,41	16,02	225	245	25,57	7,67			
	520	510	530	57,96	17,39	245	265	27,84	8,35			
	250	240	260	33,34	10,00	110	130	15,28	4,58			
	300	290	310	40,28	12,08	135	155	18,75	5,63			
	350	340	360	47,22	14,17	160	180	22,22	6,67			
	400	390	410	54,17	16,25	185	205	25,70	7,71	38,00	21,93	
	450	440	460	61,11	18,33	210	230	29,17	8,75			
	500	490	510	68,06	20,42	235	255	32,64	9,79			
	550	540	560	75,00	22,50	260	280	36,11	10,83			
	600	590	610	81,95	24,58	285	305	39,59	11,88			

ε = angle entre vis et fibres

NOTES et PRINCIPES GÉNÉRAUX à page 151.

géométrie	GLISSEMENT				CISAILLEMENT					
	bois-bois			traction acier	bois-bois	bois-bois $\varepsilon=90^\circ$	bois-bois $\varepsilon=0^\circ$			
										
										
d₁ [mm]	L [mm]	S_g [mm]	A [mm]	B_{min} [mm]	R_{V,k} [kN]	R_{tens,45,k} [kN]	A [mm]	S_g [mm]	R_{V,90,k} [mm]	R_{V,0,k} [kN]
5,3	80	25	35	50	1,18	7,78	40	25	1,99	1,03
	100	35	40	55	1,66		50	35	2,16	1,19
	120	45	45	60	2,13		60	45	2,32	1,37
5,6	140	55	55	70	2,75	8,70	70	55	2,69	1,59
	150	65	60	75	3,25		80	65	2,87	1,62
	160	65	60	75	3,25		80	65	2,87	1,64
	80	25	35	50	1,56		40	25	2,59	1,34
	100	35	40	55	2,19		50	35	2,93	1,53
	120	45	45	60	2,81		60	45	3,15	1,74
	140	55	55	70	3,44		70	55	3,37	1,97
	160	65	60	75	4,06		80	65	3,59	2,06
	180	75	70	85	4,69		90	75	3,81	2,12
7	200	85	75	90	5,31	10,89	100	85	4,03	2,19
	220	95	85	100	5,94		110	95	4,25	2,26
	240	105	90	105	6,56		120	105	4,30	2,32
	260	115	95	110	7,19		130	115	4,30	2,39
	280	125	105	120	7,81		140	125	4,30	2,46
	300	135	110	125	8,44		150	135	4,30	2,52
	340	155	125	140	9,69		170	155	4,30	2,65
	380	175	140	155	10,94		190	175	4,30	2,79
	160	65	60	75	5,22		80	65	5,10	2,81
	180	75	70	85	6,03		90	75	5,38	3,08
	200	85	75	90	6,83		100	85	5,67	3,18
	220	95	85	100	7,63		110	95	5,95	3,27
	240	105	90	105	8,44		120	105	6,23	3,35
	260	115	95	110	9,24		130	115	6,50	3,44
	280	125	105	120	10,04		140	125	6,50	3,52
9	300	135	110	125	10,85	17,96	150	135	6,50	3,61
	320	145	120	135	11,65		160	145	6,50	3,69
	340	155	125	140	12,46		170	155	6,50	3,78
	360	165	130	145	13,26		180	165	6,50	3,86
	380	175	140	155	14,06		190	175	6,50	3,95
	400	185	145	160	14,87		200	185	6,50	4,03
	440	205	160	175	16,47		220	205	6,50	4,21
	480	225	175	190	18,08		240	225	6,50	4,38
	520	245	190	205	19,69		260	245	6,50	4,55
	250	110	95	110	10,80	26,87	125	110	8,35	4,57
	300	135	110	125	13,26		150	135	9,06	4,83
	350	160	130	145	15,71		175	160	9,06	5,09
	400	185	145	160	18,17		200	185	9,06	5,35
	450	210	165	180	20,63		225	210	9,06	5,61
	500	235	180	195	23,08		250	235	9,06	5,87
	550	260	200	215	25,54		275	260	9,06	6,13
	600	285	215	230	27,99		300	285	9,06	6,39

 ε = angle entre vis et fibres

NOTES et PRINCIPES GÉNÉRAUX à page 151.

■ VALEURS STATIQUES | ULTRÉRIEURES APPLICATIONS

CONNEXION EN CISAILLEMENT AVEC CONNECTEURS CROISÉS

VGZ EVO Ø7-9-11 mm

VALEURS STATIQUES à la page 130.

CONNEXIONS AVEC ÉLÉMENTS EN CLT ET LVL

VGZ EVO Ø7-9-11 mm

VALEURS STATIQUES à la page 134.

VALEURS STATIQUES

PRINCIPES GÉNÉRAUX

- Les valeurs caractéristiques sont celles de la norme EN 1995:2014 conformément à AT-E-11/0030.
- La résistance de conception à la traction du connecteur est la valeur la plus basse entre la résistance de calcul côté bois ($R_{ax,d}$) et la résistance de conception côté acier ($R_{tens,d}$).

$$R_{ax,d} = \min \left\{ \frac{R_{ax,k} \cdot k_{mod}}{\gamma_M}, \frac{R_{tens,k}}{\gamma_{M2}} \right\}$$

- La résistance de conception à la compression du connecteur est la valeur la plus basse entre la résistance de calcul côté bois ($R_{ax,d}$) et la résistance de conception à l'instabilité ($R_{ki,d}$).

$$R_{ax,d} = \min \left\{ \frac{R_{ax,k} \cdot k_{mod}}{\gamma_M}, \frac{R_{ki,k}}{\gamma_{M1}} \right\}$$

- La résistance nominale au glissement du connecteur est la valeur la plus basse entre la résistance nominale côté bois ($R_{V,d}$) et la résistance nominale côté acier projetée à 45° ($R_{tens,45,d}$):

$$R_{V,d} = \min \left\{ \frac{R_{V,k} \cdot k_{mod}}{\gamma_M}, \frac{R_{tens,45,k}}{\gamma_{M2}} \right\}$$

- La résistance nominale au cisaillement du connecteur est obtenue à partir de la valeur caractéristique suivante :

$$R_{V,d} = \frac{R_{V,k} \cdot k_{mod}}{\gamma_M}$$

- Les coefficients γ_M et k_{mod} sont établis en fonction de la réglementation en vigueur utilisée pour le calcul.
- Pour les valeurs de résistance mécanique et pour la géométrie des vis, il a été fait référence à ce qui est reporté dans AT-E-11/0030.
- Le dimensionnement et la vérification des éléments en bois seront effectués séparément.
- Le positionnement des vis doit être réalisé dans le respect des distances minimales.
- Les résistances caractéristiques à l'extraction du filetage ont été évaluées en considérant une longueur d'implantation égale à $S_{g,tot}$ ou S_g , comme indiqué dans le tableau. Pour les valeurs intermédiaires de S_g , il est possible d'effectuer une interpolation linéaire. Une longueur d'implantation minimale de $4 \cdot d_1$ est considérée.
- Les valeurs de résistance au cisaillement et au glissement ont été évaluées en considérant que le centre de gravité du connecteur est positionné au niveau du plan de cisaillement.
- Les résistances caractéristiques au cisaillement sont évaluées pour les vis insérées sans pré-perçage. Si les vis sont insérées avec un pré-perçage, il est possible d'obtenir des valeurs de résistance plus élevées.
- Pour des configurations de calcul différentes, le logiciel MyProject est disponible (www.rothoblaas.fr).

NOTES

- Les résistances caractéristiques à l'extraction du filetage ont été évaluées en considérant aussi bien un angle ε de 90 ° ($R_{ax,90,k}$) qu'un angle de 0 ° ($R_{ax,0,k}$) entre les fibres de l'élément en bois et le connecteur.
- Les résistances caractéristiques au glissement ont été évaluées en considérant un angle ε de 45 ° entre les fibres de l'élément en bois et le connecteur.
- Les résistances caractéristiques au cisaillement bois-bois ont été évaluées en considérant aussi bien un angle ε de 90 ° ($R_{V,90,k}$) qu'un angle de 0 ° ($R_{V,0,k}$) entre les fibres du deuxième élément et le connecteur.
- Pour le calcul, la masse volumique des éléments en bois a été estimée à $\rho_k = 385 \text{ kg/m}^3$. Pour des valeurs de ρ_k différentes, les résistances indiquées dans le tableau (arrachement, compression, glissement et cisaillement) peuvent être converties à travers le coefficient k_{dens} .

$$R'_{ax,k} = k_{dens,ax} \cdot R_{ax,k}$$

$$R'_{ki,k} = k_{dens,ki} \cdot R_{ki,k}$$

$$R'_{V,k} = k_{dens,ax} \cdot R_{V,k}$$

$$R'_{V,90,k} = k_{dens,V} \cdot R_{V,90,k}$$

$$R'_{V,0,k} = k_{dens,V} \cdot R_{V,0,k}$$

ρ_k [kg/m ³]	350	380	385	405	425	430	440
C-GL	C24	C30	GL24h	GL26h	GL28h	GL30h	GL32h
$k_{dens,ax}$	0,92	0,98	1,00	1,04	1,08	1,09	1,11
$k_{dens,ki}$	0,97	0,99	1,00	1,00	1,01	1,02	1,02
$k_{dens,V}$	0,90	0,98	1,00	1,02	1,05	1,05	1,07

Les valeurs de résistance ainsi déterminées pourraient différer, en faveur de la sécurité, de celles résultant d'un calcul exact.